## Доклады Академии наук СССР 1958. Том 122, № 6

## ФИЗИЧЕСКАЯ ХИМИЯ

#### И. Г. КИСЕЛЕВА и Б. Н. КАБАНОВ

# ОБ ОБРАЗОВАНИИ И ЭЛЕКТРОХИМИЧЕСКИХ СВОЙСТВАХ КРИСТАЛЛИЧЕСКИХ МОДИФИКАЦИЙ ДВУОКИСИ СВИНЦА

(Представлено академиком А. Н. Фрумкиным 10 VI 1958)

Явление полиморфизма для случая двуокиси свинца описано в ряде работ ( $^{1-5}$ ). Установлено, что PbO<sub>2</sub> существует в двух модификациях: тетрагональной ( $\beta$ -форма) и ромбической ( $\alpha$ -форма). Возникновение той или другой модификации двуокиси свинца зависит от условий ее получения. Так,  $\alpha$ -форма получается анодным осаждением из нейтральных или щелочных растворов солей свинца, окислением PbSO<sub>4</sub> в разбавленных растворах  $H_2SO_4$  и превращением из  $\beta$ -формы под давлением;  $\beta$ -форма — окислением PbSO<sub>4</sub> в крепких растворах  $H_2SO_4$ .

Анализ имеющихся данных показывает, что условия получения α- или β-формы при нормальном давлении различаются, в сущности, тем, что образование PbO<sub>2</sub> идет при наличии или в отсутствие H<sub>2</sub>SO<sub>4</sub>. Поэтому можно было предположить, что получение разных кристаллических форм связано с адсорбцией серной кислоты, которая, как показано ранее, удерживается на PbO<sub>2</sub> очень прочно и в больших количествах (<sup>6</sup>).

Для подтверждения этого предположения мы провели сравнительные измерения адсорбционной способности и исследование структуры электродов из  $PbO_2$ , полученных в различных условиях. Результаты приводятся в табл. 1. Адсорбционные измерения производились радиохимическим методом по изменению активности электродов; исследование структуры — рентгенографическим методом \*. Исходные электроды из  $PbO_2$  получались в виде гладкого осадка на золоте из  $15\,\%$ -го раствора  $Pb(NO_3)_2$  при плотности тока  $2\cdot 10^{-4}$  а/см².

В соответствии с литературными данными, осадки, полученные нами из нейтрального раствора или окислением PbSO<sub>4</sub> в 0,01 N H<sub>2</sub>SO<sub>4</sub>, состояли в основном из  $\alpha$ -PbO<sub>2</sub>. В результате электрохимической рекристаллизации электрода в 8 N H<sub>2</sub>SO<sub>4</sub>, а именно, катодного восстановления до PbSO<sub>4</sub> с последующим анодным окислением до PbO<sub>2</sub> происходит необратимая адсорбция H<sub>2</sub>SO<sub>4</sub> на PbO<sub>2</sub> и превращение  $\alpha$ -PbO<sub>2</sub> в  $\beta$ -PbO<sub>2</sub> \*\*. Величина адсорбции в 8 N H<sub>2</sub>SO<sub>4</sub> составляет от  $6 \cdot 10^{-8}$  до  $40 \cdot 10^{-8}$  М/см<sup>2</sup> в зависимости от толщины слоя PbO<sub>2</sub>. Адсорбированная H<sub>2</sub>SO<sub>4</sub> может быть удалена из осадка PbO<sub>2</sub> при помощи вытеснения ее с электрода адсорбирующимся кобальтом ( $^6$ ). Был проведен рентгеноструктурный анализ двуокиси свинца, которая после осаждения ее из 8 N H<sub>2</sub>SO<sub>4</sub> в течение 10—15 час. анодно поляризовалась в растворе 8 N H<sub>2</sub>SO<sub>4</sub> +5% CoSO<sub>4</sub>. Оказалось, что десорбция H<sub>2</sub>SO<sub>4</sub> сопровождается превращением  $\beta$ -PbO<sub>2</sub> в  $\alpha$ -PbO<sub>2</sub>.

Относительно природы адсорбции H<sub>2</sub>SO<sub>4</sub> на PbO<sub>2</sub> можно сделать пред-

<sup>\*</sup> Мы выражаем глубокую благодарность З. В. Семеновой за выполнение рентгено-

структурного анализа образцов двуокиси свинца.

\*\* Следует отметить, что в чистом виде ни одна из модификаций в этих условиях не получается. Во всех случаях мы имели смесь обеих кристаллических форм, но из нейтрального раствора осаждается смесь, в основном состоящая из α-формы, а из кислого — β-формы. Эти осадки мы условно называем соответственно α-PbO<sub>2</sub> и β-PbO<sub>2</sub>.

положение, что поглощение  $H_2SO_4$  происходит в объеме электрода на интеркристаллической поверхности. Об этом свидетельствуют большая величина адсорбции и зависимость ее от толщины слоя  $PbO_2$  (табл. 1). Кроме того,

Т	а	б	л	и	п	а	1
1	и	$\circ$		11	44	и	

		Толщ. слоя PbO <sub>2</sub> в μ	Адсорбция H <sub>2</sub> SO <sub>4</sub> в молях			
РьО яз раствора	Форма РbO <sub>2</sub>		М/см² на вид. по- верхн.	<i>М</i> /см <sup>8</sup>	М/см² на интеркрист. поверхн.	
Pb(NO <sub>3</sub> ) <sub>2</sub> 0,01N H <sub>2</sub> SO <sub>4</sub> 8N H <sub>2</sub> SO <sub>4</sub> 8N H <sub>2</sub> SO <sub>4</sub> 8N H <sub>2</sub> SO <sub>4</sub> + + CoSO <sub>4</sub>	$\begin{array}{c} \alpha \\ \alpha \\ \beta \\ \beta \end{array}$ $\beta \rightarrow \alpha$	2—30 20 2 20 Намазной электрод	$\begin{array}{c c} - & - & \\ 0, 0_1 \cdot 10^{-8} \\ 6 \cdot 10^{-8} \\ 40 \cdot 10^{-8} \end{array}$	— 3·10-4 2·10-4 Десорбц	— 3·10 <sup>-11</sup> 2·10 <sup>-11</sup> ия ( <sup>6</sup> )	

установлено, что заметная необратимая адсорбция происходит лишь в процессе образования  $PbO_2$  из  $PbSO_4$ , и не наблюдается при длительной анодной поляризации  $PbO_2$  в  $H_2SO_4$  \*. Это, по-видимому, означает, что серная кислота адсорбируется не на готовом осадке двуокиси свинца, а в процессе его образования \*\*. Интересно отметить, что в 8 N  $H_2SO_4$  кристаллы  $PbO_2$  получаются в 100 раз более

получаются в 100 раз более мелкими (по линейным размерам), чем в растворах Pb(NO<sub>3</sub>)<sub>2</sub> или 0,01 N H<sub>2</sub>SO<sub>4</sub>. Это можно объяснить известным явлением затруднения роста кристаллов благодаря хемосорбции.

Известно, что с изменением кристаллической модификации происходит изменение ряда свойств вещества. В связи с этим представляло интерес сравнить электрохимическое поведение α- и β-PbO<sub>2</sub>. Для этого на гладких электродах из PbO<sub>2</sub> тетрагональной и ромбической модификаций были измерены ско-

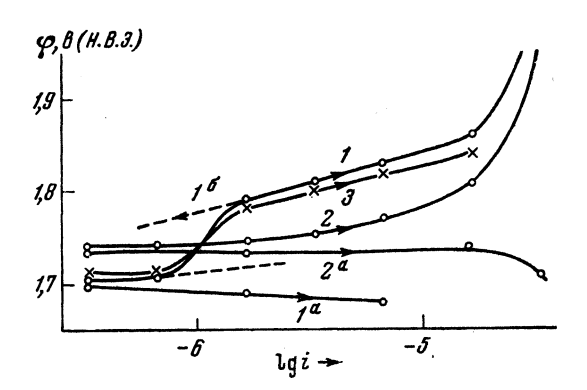


Рис. 1. Кривые перенапряжения.  $\it 1$  и  $\it 1a$  —  $\it \alpha$ -PbO $_2$  из раствора Pb (NO $_3$ ) $_2$ ,  $\it 2$  и  $\it 2a$  —  $\it \beta$ -PbO $_2$  из  $\it 8$   $\it N$  H $_2$ SO $_4$ ,  $\it 3$  —  $\it \alpha$ -PbO $_2$  из  $\it 8$   $\it N$ H $_2$ SO $_4$  +  $\it 5$  % CoSO $_4$ 

рости анодного образования  $PbO_2$  из  $PbSO_4$  и катодного восстановления  $PbO_2$ . Измерение скорости этих реакций производилось путем снятия кривых перенапряжения в  $8\ N\ H_2SO_4$ . Для измерения перенапряжения электрод частично разряжался, т. е. часть  $PbO_2$  переводилась в  $PbSO_4$ . Кривые, изображающие зависимость  $\varphi$ — $lg\ i$  для двух разных модификаций  $PbO_2$ , представлены на рис.  $1^{***}$ . Анодные кривые, снятые быстро и при малых плотностях тока, а также катодные кривые, идут параллельно друг другу со смещением на 30—40 мв. Ток обмена на обеих модификациях почти одинаков. Ход кривых определяется отклонениями величины кон-

\*\* Поглощение  $H_2SO_4$  нельзя объяснить тем, что  $H_2SO_4$  образует с  $PbO_2$  стехиометрическое соединение (7), так как при этом количество поглощенной  $H_2SO_4$  должно было бы

быть на два порядка больше, чем на опыте.

<sup>\*</sup> В присутствии в растворе  $CoSO_4$  изменение кристаллической модификации и адсорбии  $H_2SO_4$  при непрерывной анодной поляризации могут быть объяснены рекристаллизацией, протекающей по схеме  $\beta$ - $PbO_2$ - $PbSO_4$ - $\alpha$ - $PbO_2$ . Процесс этот ускоряется в присутствии  $CoSO_4$  из-за снижения перенапряжения кислорода и, следовательно, приближения потенциала электрода к равновесному. Возможно также, что главную роль играет премиущественное восстановление  $\beta$ - $PbO_2$ , происходящее за счет выделения кислорода.

<sup>\*\*\*</sup> Все кривые сняты на одном и том же электроде в порядке их нумерации.

центрации  $PbSO_4$  у поверхности электрода от величины концентрации насыщения. Однако на  $\alpha$ - $PbO_2$  в области плотностей тока  $10^{-6}$  — $3\cdot10^{-6}$  а/см² перенапряжение анодного процесса при одной и той же плотности тока растет во времени, повышаясь, примерно, на 80 мв. Поэтому сравнительно медленно (в течение 3-4 час.) снятая кривая имеет аномальный вид (рис. 1,1) и при обратном порядке измерения, от больших плотностей тока к меньшим, наблюдается гистерезис (пунктир, кривая 16). После анодной поляризации  $PbO_2$  в течение 10-15 час. в  $8NH_2SO_4 + CoSO_4$ , при которой происходит десорбция  $H_2SO_4$  и  $\beta$ - $PbO_2$  превращается в  $\alpha$ - $PbO_2$ , окисление  $PbSO_4$  оказывается замедленным и кривая перенапряжения (рис. 1,3) идет почти так же, как на  $\alpha$ - $PbO_2$ , полученном из нейтрального раствора.

Замедленность процесса окисления  $PbSO_4$  на  $\alpha$ - $PbO_2$  в 8 N  $H_2SO_4$ , вероятно, связана с затруднением процесса электрокристаллизации (9), ко-

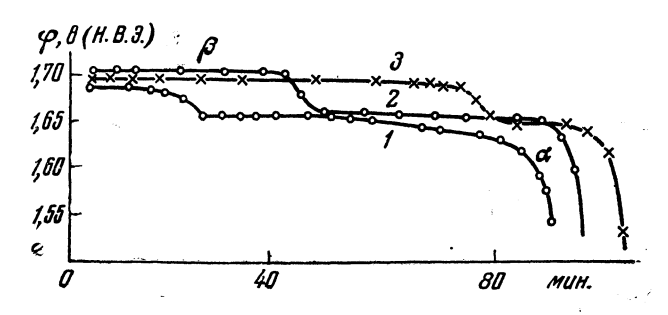


Рис. 2. Восстановление PbO<sub>2</sub> (разрядные кривые). 1-25%  $\beta$ -PbO<sub>2</sub>, 2-50%  $\beta$ -PbO<sub>2</sub>, 3-75%  $\beta$ -PbO<sub>2</sub>

торое можно объяснить адсорбцией H<sub>2</sub>SO<sub>4</sub>. Известно, что анодное окисление ионов  $Pb^{2+}$  в 8 N  $H_2SO_4$  приводит к образованию  $\beta$ - $PbO_2$ . Если электродом является PbO2 той же модификации, то процесс электрокристаллизации идет легко, так как продолжается рост имеющейся кристаллической решетки (10). В случае же электрода из α-PbO<sub>2</sub>, на котором еще не успела адсорбироваться  $H_2SO_4$ , на активных точках легко образуется осадок α-PbO<sub>2</sub>. Постепенію число активных мест уменьшается, вероятно, из-за специфической адсорбции H<sub>2</sub>SO<sub>4</sub> (которая происходит медленно), из-за чего постепенно прекращается выделение α-РbO<sub>2</sub>. После этого, уже при повышенном перенапряжении, может образовываться только β-PbO<sub>2</sub>. В этом случае повышение перенапряжения обусловлено не только образованием осадка на поверхности, которая является чужеродной по отношению к образующейся PbO<sub>2</sub>, но и адсорбцией на этой поверхности серной кислоты. Поэтому скорость процесса после получения первых порций осадка не увеличивается, как этого следовало бы ожидать. По-видимому, достигнутое повышение потенциала способствует весьма большой специфической адсорбции  $H_2SO_4$ , которая затрудняет рост образующихся зародышей  $PbO_2$ , и процесс продолжает идти с замедленной скоростью.

Судя по кривым 1a, и 2a (рис. 1) при данном потенциале восстановление  $\alpha$ -PbO2 идет с несравненно меньшей скоростью, чем  $\beta$ -PbO2. В соответствии с этим, при разряде электрода, состоящего из смеси обеих модификаций PbO2, на разрядной кривой потенциал — время появляются две задержки, различающиеся по величине потенциала, приблизительно, на 30 мв (рис. 2). Исходным материалом для получения таких электродов служила  $\alpha$ -PbO2, осажденная из нейтрального раствора Pb(NO3)2, или из 0,01 N H2SO4. Частичным восстановлением PbO2 с последующим окислением образовавшегося PbSO4 в 8 N H2SO4 соответствующая часть  $\alpha$ -PbO2 превращалась в  $\beta$ -PbO2. Длина первой площадки определяется количеством  $\beta$ -PbO2. В случае кривых 1, 2 и 3 на рис. 2 частичный предварительный разряд  $\alpha$ -PbO2 составлял соответственно 25, 50 и 75% емкости.

Аналогичное явление наблюдалось в опытах Рючи и Қаган ( $^{1}$ ). Однако **авторы** склонны были объяснить его как различием потенциалов разряда  $\alpha$ -PbO<sub>2</sub> и  $\beta$ -PbO<sub>2</sub>, так и явлениями пассивации. Бэрбанк ( $^{5}$ ) пришел к выводу о замедленности разряда  $\alpha$ -PbO<sub>2</sub> на основании того экспериментального факта, что в продуктах коррозии свинца, покрытого смесью  $\alpha$ -PbO<sub>2</sub> и  $\beta$ -PbO<sub>2</sub>, наряду с PbSO<sub>4</sub> обнаруживается  $\alpha$ -PbO<sub>2</sub>.

Таким образом, проведенное исследование позволяет считать, что причиной замедления процесса  $PbO_2 \rightarrow PbSO_4$ , а также образования  $\beta$ -формы является химическая адсорбция серной кислоты на поверхности  $PbO_2$ . Влияние адсорбции  $H_2SO_4$  на скорость другого анодного процесса на  $PbO_2$ 

**(выде**ление кислорода) было уже установлено ранее (8).

В заключение следует отметить, что дальнейшее изучение условий возникновения различных модификаций двуокиси свинца и их свойств представляет практический интерес. Так, на примере осадков двуокиси свинца на золоте мы наблюдали значительную разницу в механической прочности между осадками  $\alpha$ -PbO2 и  $\beta$ -PbO2. Кроме того, известно, что твердость у PbO2 из  $8~N~H_2SO_4$  меньше, чем у PbO2 из  $0.1~N~H_2SO_4$  (11). Следовательно возможно, что так называемое «оползание» активной массы положительного электрода в свинцовом аккумуляторе связано с понижением прочности за счет превращения  $\alpha$ -PbO2 в  $\beta$ -PbO2 в процессе циклирования (3).

Институт] электрохимии Академии наук СССР Поступило 10 VI 1958

### ЦИТИРОВАННАЯ: ЛИТЕРАТУРА

<sup>1</sup> М. Катауата, Т. Fukumoto, J. Soc. Chem. Japan, 49, 155 (1946).

<sup>2</sup> А. И. Заславский, Ю. Д. Кондрашов, С. С. Толкачев, ДАН, 75, 559 (1950).

<sup>3</sup> Н. Воdе, Е. Voss, Zs. f. Electrochem., 60, 1053 (1956).

<sup>4</sup> P. Rüetschi, B. D. Cahan, J. Electrochem. Soc., 104, 406 (1957).

<sup>5</sup> J. Burbank, A. C. Simon, J. Electrochem. Soc., 100, 11 (1953).

<sup>6</sup> И. Г. Киселева, Б. Н. Кабанов, ДАН, 108, 864 (1956).

<sup>7</sup> R. Von Копоw, Tekn. Fören. Finl. Förhand., 74, № 12, 257 (1954).

<sup>8</sup> Б. Н. Кабанов, И. Г. Киселева, Д. И. Лейкис, ДАН, 99, 804 (1954).

<sup>9</sup> М. Fleischmann, Н. R. Thirsk, Trans. Farad. Soc., 51, 71 (1955).

<sup>10</sup> П. Д. Данков, Тр. 2-й конфер. по коррозии металлов, 1943, стр. 121.

<sup>11</sup> Д. И. Лейкис, Е. К. Венстрем, ДАН, 112, 971 (1957).